

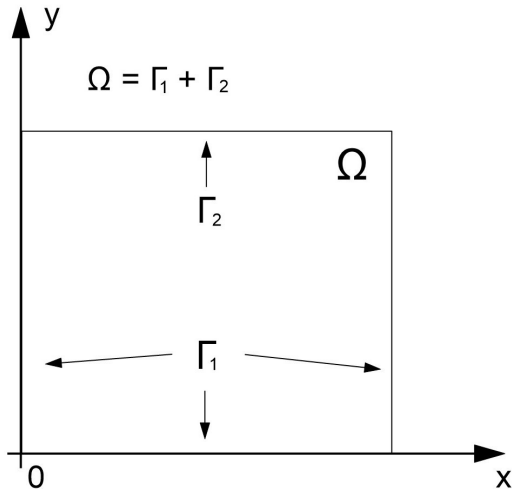
Autorzy:

Krystian Fudali 299057

Paweł Gilewicz 299058

Kierunek studiów: MiPM**Zespół 1****Data:** 26.09.2022r.**PROJEKT ZALICZENIOWY**
LID DRIVEN CAVITY FLOW**1. Cel projektu**

Celem projektu jest opracowanie algorytmu, który efektywnie rozwiązuje nieściśliwe, zależne od czasu równania Naviera-Stokesa opisane przez równania (1). Trudność w ich rozwiązywaniu wynika z faktu, że prędkość i ciśnienie są sprzężone poprzez warunek zerowej dywergencji pola prędkości. W związku z tym konieczne jest opracowanie metod pozwalających tę trudność ominąć. W ramach projektu przeprowadzono implementację metody projekcyjnej **Pressure - Correction (schemat TMVdV)** w wariacie N = 2, M = 1.

2. Zadanie testowe**Rys. 2.1.** Lid driven cavity flow: sformułowanie problemu.

Zadanie polega na wyznaczeniu rozwiązania zagadnienia początkowo - brzegowego w obszarze $\Omega = [0, 1] \times [0, 1]$.

$$\left\{ \begin{array}{l} \frac{\partial \vec{v}}{\partial t} + (\vec{v} \cdot \nabla) \vec{v} = -\nabla p + \nu \Delta \vec{v} + \vec{f} \\ \vec{v}|_{\Gamma_1} = \vec{0}, \quad \vec{v}|_{\Gamma_2} = U(t, x) \vec{e}_x \\ \nabla \cdot \vec{v}|_{\Omega} = 0 \\ \vec{v}|_{t=0} = \vec{0} \end{array} \right. \quad (1)$$

Pole prędkości na Γ_2 to $U(t, x) \vec{e}_x$, gdzie $U(t, x)$ jest zadana i taka, że $U(0, x) = 0$ oraz $U(t, 0) = U(t, 1) = 0$. Problem testowy (benchmark) ma tak dobrane dane, aby istniało rozwiązanie analityczne. Stosujemy podejście zwane "**manufactured solution**". W pierwszej kolejności zbudujemy pole prędkości spełniające warunek zerowej dywergencji i warunki brzegowe:

$$\left\{ \begin{array}{l} \vec{v}(t, x, y) = u(t, x, y) \vec{e}_x + v(t, x, y) \vec{e}_y \\ u(t, x, y) = A(t)(1 - \cos 2\pi x)y(2 - 3y) \\ v(t, x, y) = -A(t)2\pi \sin 2\pi x \cdot y^2(1 - y) \end{array} \right. \quad (2)$$

Istotnie:

$$v(t, x, y)|_{\Gamma_1 \cup \Gamma_2} = 0, \quad u|_{\Gamma_1} = 0, \quad \Rightarrow \quad \vec{v}|_{\Gamma_1} = 0$$

Na brzegu Γ_2 mamy: $u(t, x, 1) = A(t)[\cos 2\pi x - 1]$. Zadajemy dowolną funkcję $A(t)$ taką, aby $A(0) = 0$. Wtedy prawa strona powyższego równania to rozwiązanie szczególne $U(t, x)$. Weźmy więc funkcję $A(t) = t$. Korzystając ze swobody wyboru \vec{f} i \vec{f} zadajemy dowolne pole ciśnienia:

$$p(t, x, y) = \nu \left[\left(x - \frac{1}{2} \right)^2 + \left(y - \frac{1}{2} \right)^2 \right]$$

Pozostaje wyznaczyć \vec{f} tak, aby para (\vec{v}, p) była rozwiązaniem, czyli:

$$\vec{f} = \frac{\partial \vec{v}}{\partial t} + (\vec{v} \cdot \nabla) \vec{v} + \nabla p - \nu \Delta \vec{v}$$

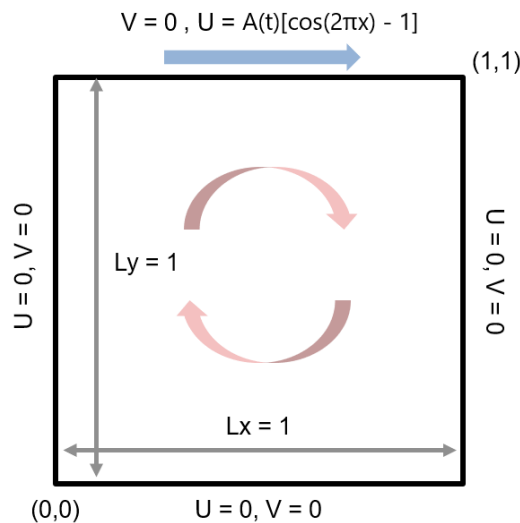
Po wykonaniu odpowiednich operacji i przekształceniach otrzymamy:

$$\begin{aligned} f_x = & (1 - \cos 2\pi x)y(2 - 3y) + 2\pi t^2 \sin 2\pi x(1 - \cos 2\pi x)y^2(2 - 3y)^2 - \\ & - 2\pi t^2 \sin 2\pi x(1 - \cos 2\pi x)y^2(1 - y)(2 - 6y) + 2\nu \left(x - \frac{1}{2} \right) - \\ & - \nu (4t\pi^2 y(2 - 3y) \cos 2\pi x - 6t(1 - \cos 2\pi x)) \end{aligned} \quad (3)$$

$$\begin{aligned} f_y = & -2\pi y^2(1 - y) \sin 2\pi x - 4t^2\pi^2(1 - \cos 2\pi x)y^3(2 - 3y)(1 - y) \cos 2\pi x + \\ & + 4t^2\pi^2 y^2(1 - y)(2y - 3y^2) \sin^2 2\pi x + 2\nu \left(y - \frac{1}{2} \right) - \\ & - \nu (8\pi^3 t y^2(1 - y) \sin 2\pi x - 2\pi t(2 - 6y) \sin 2\pi x) \end{aligned} \quad (4)$$

3. Metoda Pressure Correction (schemat TMVdV)

Celem projektu jest implementacja metody pressure - correction (Timmermansa, Mineva i Ven der Vosse) w wariancie $N = 2$, $M = 1$. Formalny rząd schematu dla pola prędkości (w normie H^1) jest równy 2, a dla ciśnienia (w normie L^2) jest równy 1.



Rys. 3.1. Metoda pressure correction: sformułowanie problemu.

Na **rys. 3.1** przedstawiono schemat rozwiązywanego przepływu. Algorytm użyty do rozwiązania sprzężenia prędkościowo-ciśnieniowego został orientacyjnie opisany w następnym paragrafie.

Uogólnienie algorytmu schematu TMVdV N-tego rzędu dla problemu Stokesa

Krok 1 - ekstrapolacja. Zdefiniujemy:

$$p_{\star}^{k+1} = \sum_{j=1}^M \beta_j p^{k+1-j}, \quad \tilde{p}^{k+1} = p_{\star}^{k+1} + \sum_{j=1}^N \frac{\alpha_j}{\alpha_0} \varphi^{k+1-j} \quad (5)$$

Krok 2 - etap dyfuzji. Krok polega na znalezieniu \tilde{u}^{k+1} poprzez rozwiązanie poniższego układu równań liniowych.

$$\begin{cases} \frac{\alpha_0}{\Delta t} \tilde{u}^{k+1} - \nu \Delta \tilde{u}^{k+1} = -\nabla \tilde{p}^{k+1} + f^{k+1} + \frac{1}{\Delta t} \sum_{j=1}^N \alpha_j \tilde{u}^{k+1-j} \\ \tilde{u}^{k+1} |_{\Gamma} = 0 \end{cases} \quad (6)$$

Krok 3 - etap projekcji. Znajdujemy współczynnik korekcyjny φ^{k+1} poprzez rozwiązanie zagadnienia Neumanna dla równania Poissona.

$$\begin{cases} \nabla^2 \varphi^{k+1} = \frac{\alpha_0}{\Delta t} \nabla \cdot \tilde{u}^{k+1} \\ \frac{\partial}{\partial n} \varphi^{k+1} |_{\Gamma} = 0 \end{cases} \quad (7)$$

Krok 4 - poprawka ciśnienia. W algorytmie zastosowano metodę przyrostową w formie rotacyjnej:

$$p^{k+1} = p_{\star}^{k+1} + \varphi^{k+1} - \nu \nabla \cdot \tilde{u}^{k+1} \quad (8)$$

Rozpatrywany przypadek wyznaczany jest w oparciu o metodę drugiego rzędu ($N = 2, M = 1$). W związku z tym:

$$\alpha_0 = \frac{3}{2}, \quad \alpha_1 = 2, \quad \alpha_2 = -\frac{1}{2}$$

$$p_{\star}^{k+1} = p^k, \quad \tilde{p}^{k+1} = p_{\star}^{k+1} + \frac{4}{3} \varphi^k - \frac{1}{3} \varphi^{k-1}$$

Uogólnienie algorytmu schematu TMVdV N-tego rzędu dla problemu Naviera - Stokesa

Człon nieliniowy w równaniu Naviera - Stokesa można zapisać w postaci skośnie symetrycznej:

$$\frac{D}{Dt} \mathbf{u} = \frac{\partial}{\partial t} \mathbf{u} = \frac{1}{2} [\nabla \cdot (\mathbf{u} \otimes \mathbf{u}) + (\mathbf{u} \cdot \nabla) \mathbf{u}]$$

Co następnie można przekształcić do związku:

$$\frac{D}{Dt} \mathbf{u} = \frac{\partial}{\partial t} \mathbf{u} + (\mathbf{u} \cdot \nabla) \mathbf{u} + \frac{1}{2} (\nabla \cdot \mathbf{u}) \mathbf{u} \quad (9)$$

Jest to zgodne z równaniem ciągłości (ponieważ $\nabla \cdot \mathbf{u} = 0$, choć nie jest to prawdziwe dla rozwiązania dyskretnego) i jest potrzebne do zagwarantowania bezwarunkowej stabilności schematu krokowego. Ponadto, do linearyzacji tego członu używamy ekstrapolacji pierwszego rzędu \mathbf{u}_\star z \mathbf{u}^{k+1} . Kompletny schemat dla problemu Naviera - Stokesa ma postać:

Krok 1

$$\tilde{\mathbf{u}}_\star^{k+1} = \sum_{j=1}^M \beta_j \tilde{\mathbf{u}}^{k+1-j}, \quad p_\star^{k+1} = \sum_{j=1}^M \beta_j p^{k+1-j}, \quad \tilde{p}^{k+1} = p_\star^{k+1} + \sum_{j=1}^N \frac{\alpha_j}{\alpha_0} \varphi^{k+1-j} \quad (10)$$

Krok 2

$$\begin{cases} \frac{\alpha_0}{\Delta t} \tilde{\mathbf{u}}^{k+1} + (\tilde{\mathbf{u}}^{k+1} \cdot \nabla) \tilde{\mathbf{u}}^{k+1} + \frac{1}{2} (\nabla \cdot \tilde{\mathbf{u}}^{k+1}) \tilde{\mathbf{u}}^{k+1} - \nu \Delta \tilde{\mathbf{u}}^{k+1} = \\ = -\nabla \tilde{p}^{k+1} + f^{k+1} + \frac{1}{\Delta t} \sum_{j=1}^N \alpha_j \tilde{\mathbf{u}}^{k+1-j} \\ \tilde{\mathbf{u}}^{k+1} |_{\Gamma} = 0 \end{cases} \quad (11)$$

Krok 3

$$\begin{cases} \nabla^2 \varphi^{k+1} = \frac{\alpha_0}{\Delta t} \nabla \cdot \tilde{\mathbf{u}}^{k+1} \\ \frac{\partial}{\partial n} \varphi^{k+1} |_{\Gamma} = 0 \end{cases} \quad (12)$$

Krok 4

$$p^{k+1} = p_\star^{k+1} + \varphi^{k+1} - \nu \nabla \cdot \tilde{\mathbf{u}}^{k+1} \quad (13)$$

Adnotacja do kroku 1:

Ekstrapolacja pól prędkości $\tilde{\mathbf{u}}_\star^{k+1}$ i ciśnienia p_\star^{k+1} jest rzędu pierwszego ($M = 1$). W związku z tym możemy napisać:

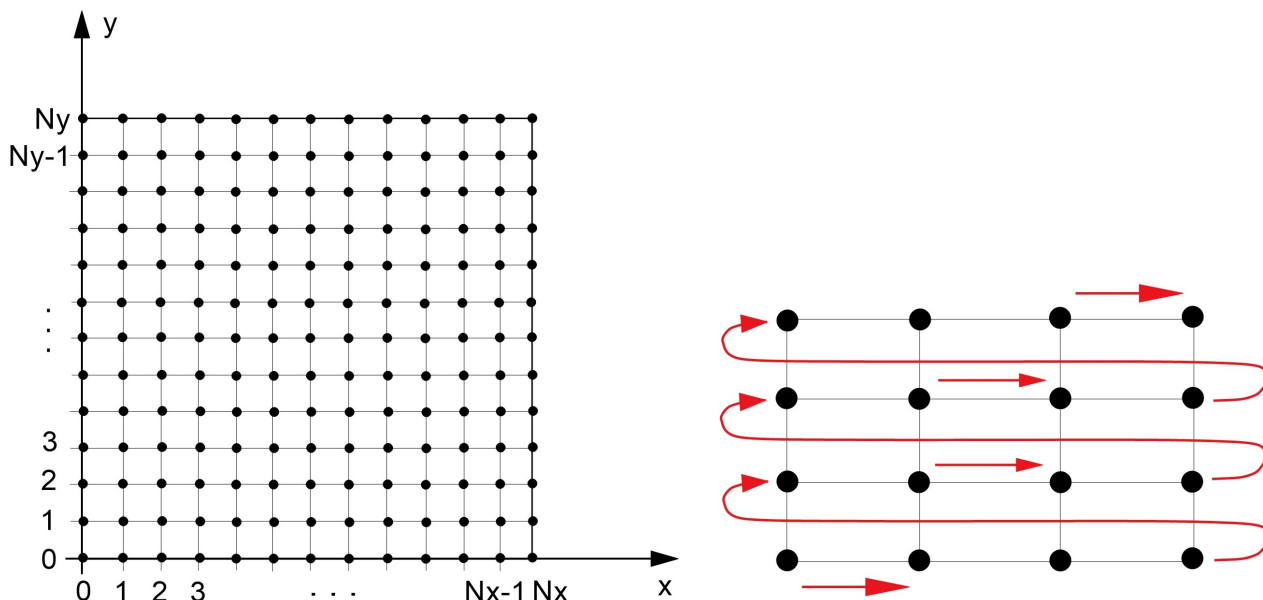
$$\tilde{\mathbf{u}}_\star^{k+1} = \tilde{\mathbf{u}}^k, \quad p_\star^{k+1} = p^k$$

Adnotacja do kroku 2:

Postać członu nieliniowego oraz sposób jego dyskretyzacji zostanie rozwinięty w kolejnych podrozdziałach.

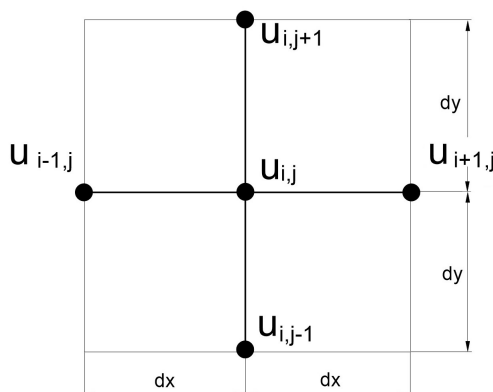
Metoda różnic skończonych

Implementację opisanego wyżej algorytmu projekcyjnego przeprowadzono w oparciu o metodę różnic skończonych. W związku z tym domenę obliczeniową stanowi siatka o oczkach kwadratowych ($h = 1/N$, $N = 20, 50, 100$).



Rys. 3.2. Sposób dyskretyzacji przestrzennej oraz kolejność układania równań.

Dyskretyzację członów występujących w kroku dyfuzyjnym (**rów. 6**, **rów. 11**) przeprowadzono wykorzystując różnice centralne. Przedstawienie problemu w postaci dyskretnej umożliwia poniższe przybliżenia zapisane w oparciu o schemat przedstawiony na (**rys. 3.3**). Kolejność układania równań jest zgodna z kierunkiem przedstawionym na (**rys. 3.2**) i odpowiada kolejności ułożenia wyrazów w wektorze niewiadomych. Układ równań rozwiązywano przy pomocy metody gradientów sprzężonych.



Rys. 3.3. Rozkład oraz nomenklatura węzłów siatki.

- Dywergencja prędkości:

$$\nabla \cdot \vec{v} \cong \frac{u_{i+1,j} - u_{i-1,j}}{2\Delta x} + \frac{v_{i,j+1} - v_{i,j-1}}{2\Delta y} \quad (14)$$

- Gradient ciśnienia:

$$\frac{\partial p_{i,j}}{\partial x} \cong \frac{p_{i+1,j} - p_{i-1,j}}{2\Delta x} \quad (15)$$

$$\frac{\partial p_{i,j}}{\partial y} \cong \frac{p_{i,j+1} - p_{i,j-1}}{2\Delta y} \quad (16)$$

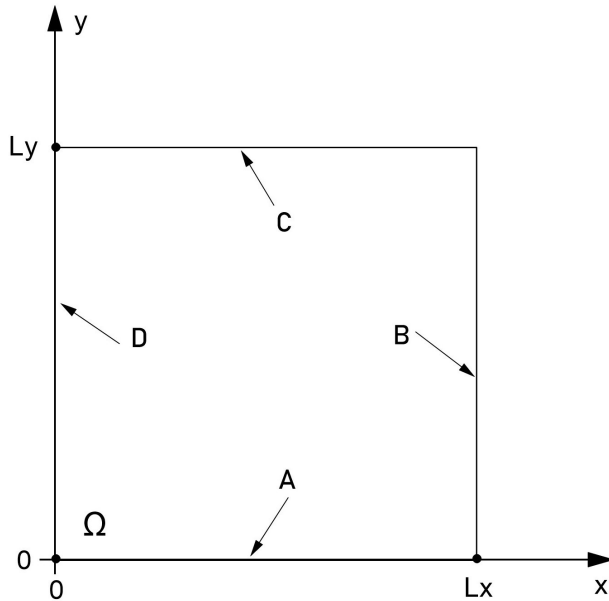
- Człony dyfuzyjne:

$$\Delta u_{i,j} \cong \frac{u_{i-1,j} - 2u_{i,j} + u_{i+1,j}}{\Delta x^2} + \frac{u_{i,j-1} - 2u_{i,j} + u_{i,j+1}}{\Delta y^2} \quad (17)$$

$$\Delta v_{i,j} \cong \frac{v_{i-1,j} - 2v_{i,j} + v_{i+1,j}}{\Delta x^2} + \frac{v_{i,j-1} - 2v_{i,j} + v_{i,j+1}}{\Delta y^2} \quad (18)$$

Zagadnienie Neumanna dla równania Poissona

Rozważając etap projekcyjny mamy do czynienia z problemem Neumanna dla równania Poissona dla funkcji φ^{k+1} . Jest to problem wewnętrzny z zerowym warunkiem Neumanna, a więc rozwiązanie określone jest z dokładnością do stałej addytywnej. Rozpiszmy warunek Neumanna na brzegach obszaru:



Rys. 3.4. Warunek Neumanna na brzegach obszaru.

Łatwo zauważyć, że dla poszczególnych brzegów oznaczonych na **rys. 3.4** zachodzą związki:

A:

$$\frac{\partial \varphi^{k+1}}{\partial n} \Big|_A = -\frac{\partial \varphi^{k+1}}{\partial y} \Big|_A = h_A \quad (19)$$

B:

$$\frac{\partial \varphi^{k+1}}{\partial n} \Big|_B = \frac{\partial \varphi^{k+1}}{\partial x} \Big|_B = h_B \quad (20)$$

C:

$$\frac{\partial \varphi^{k+1}}{\partial n} \Big|_C = \frac{\partial \varphi^{k+1}}{\partial y} \Big|_C = h_C \quad (21)$$

D:

$$\frac{\partial \varphi^{k+1}}{\partial n} \Big|_D = -\frac{\partial \varphi^{k+1}}{\partial x} \Big|_D = h_D \quad (22)$$

Jeśli więc równania dla brzegów A, B, C oraz D zapiszemy w postaci dyskretnej, to otrzymamy:

$$-\frac{\partial \varphi_{i,j}^{k+1}}{\partial y} \Big|_A = -\frac{\varphi_{i,j+1}^{k+1} - \varphi_{i,j-1}^{k+1}}{2\Delta y} = h_A \quad (23)$$

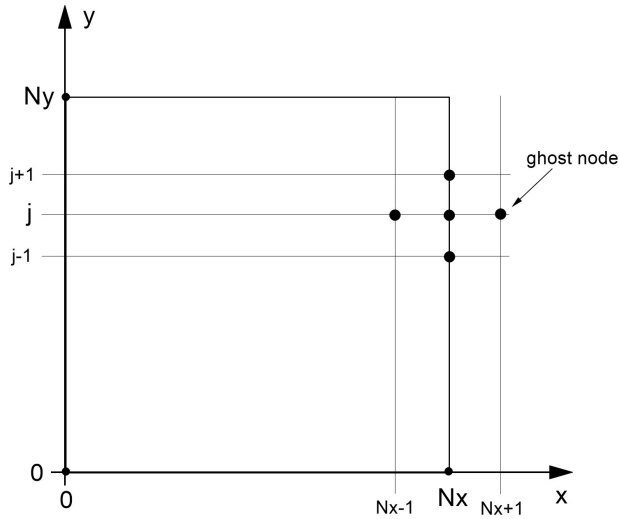
$$\frac{\partial \varphi_{i,j}^{k+1}}{\partial x} \Big|_B = \frac{\varphi_{i+1,j}^{k+1} - \varphi_{i-1,j}^{k+1}}{2\Delta x} = h_B \quad (24)$$

$$\frac{\partial \varphi_{i,j}^{k+1}}{\partial y} \Big|_C = \frac{\varphi_{i,j+1}^{k+1} - \varphi_{i,j-1}^{k+1}}{2\Delta y} = h_C \quad (25)$$

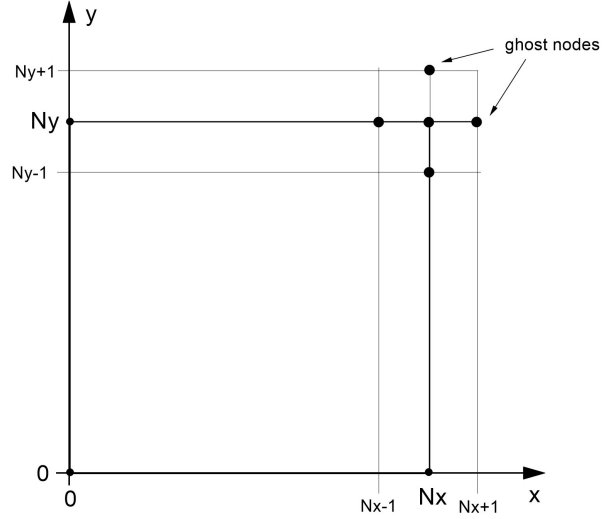
$$-\frac{\partial \varphi_{i,j}^{k+1}}{\partial x} \Big|_D = -\frac{\varphi_{i+1,j}^{k+1} - \varphi_{i-1,j}^{k+1}}{2\Delta x} = h_D \quad (26)$$

Ghost nodes

Węzły *ghost nodes* to technika stosowana do dyskretyzacji warunków brzegowych Neumanna w metodzie różnic skończonych. Aby móc wykorzystać różnicę centralną dla pierwszej pochodnej, dodatkowy punkt, zwany *ghost node*, jest wprowadzany poza granicę dziedziny. Nieznana wartość funkcji w węźle-widmo jest dodawana jako zmienna. W węźle brzegowym wymuszany jest warunek Neumanna, a także samo równanie (dwa równania dla dwóch niewiadomych, *ghost node* i wartość funkcji brzegowej). Poniższe schematy (rys. 4.25 - rys. 4.24) przedstawiają sposób wprowadzania węzłów-widmo:



Rys. 3.5. Ghost nodes na brzegu obszaru.



Rys. 3.6. Ghost nodes w narożu obszaru.

W rozważanym przypadku warunek Neumanna jest zerowy, co dosłownie oznacza, że $h_A = h_B = h_C = h_D = 0$. Z równań (23) - (26) wynika więc, że wartość funkcji w węzłach widmo na brzegu obszaru (rys. 4.25) wyrażają się poprzez:

$$A: \varphi_{i,-1}^{k+1} = \varphi_{i,1}^{k+1}, \quad \text{dla } i = 0, 1, \dots, Nx \quad (27)$$

$$B: \varphi_{Nx+1,j}^{k+1} = \varphi_{Nx-1,j}^{k+1}, \quad \text{dla } j = 0, 1, \dots, Ny \quad (28)$$

$$C: \varphi_{i,Ny+1}^{k+1} = \varphi_{i,Ny-1}^{k+1}, \quad \text{dla } j = 0, 1, \dots, Nx \quad (29)$$

$$D: \varphi_{-1,j}^{k+1} = \varphi_{1,j}^{k+1}, \quad \text{dla } j = 0, 1, \dots, Ny \quad (30)$$

Podstawiając powyższe zależności do dyskretnej formy równania Poissona dla funkcji φ^{k+1} otrzymamy na brzegach obszaru następujące równania:

$$\Delta \varphi^{k+1} |_A \approx \frac{\varphi_{i+1,0}^{k+1} - 2\varphi_{i,0}^{k+1} + \varphi_{i-1,0}^{k+1}}{\Delta x^2} + \frac{-2\varphi_{i,0}^{k+1} + 2\varphi_{i,1}^{k+1}}{\Delta y^2}, \quad \text{dla } i = 1, \dots, Nx-1 \quad (31)$$

$$\Delta \varphi^{k+1} |_B \approx \frac{2\varphi_{Nx-1,j}^{k+1} - 2\varphi_{Nx,j}^{k+1}}{\Delta x^2} + \frac{\varphi_{Nx,j+1}^{k+1} - 2\varphi_{Nx,j}^{k+1} + \varphi_{Nx,j-1}^{k+1}}{\Delta y^2}, \quad \text{dla } j = 1, \dots, Nx-1 \quad (32)$$

$$\Delta \varphi^{k+1} |_C \approx \frac{\varphi_{i+1,Ny}^{k+1} - 2\varphi_{i,Ny}^{k+1} + \varphi_{i-1,Ny}^{k+1}}{\Delta x^2} + \frac{-2\varphi_{i,Ny}^{k+1} + 2\varphi_{i,Ny-1}^{k+1}}{\Delta y^2}, \quad \text{dla } i = 1, \dots, Nx-1 \quad (33)$$

$$\Delta \varphi^{k+1} |_D \approx \frac{2\varphi_{1,j}^{k+1} - 2\varphi_{0,j}^{k+1}}{\Delta x^2} + \frac{\varphi_{0,j+1}^{k+1} - 2\varphi_{0,j}^{k+1} + \varphi_{0,j-1}^{k+1}}{\Delta y^2}, \quad \text{dla } j = 1, \dots, Nx-1 \quad (34)$$

Osobnego komentarza wymagają także równania w węzłach narożnych, gdyż ich dyskretna postać prezentuje się następująco:

$$\Delta\varphi^{k+1}|_{A\cap B} \approx \frac{2\varphi_{Nx-1,0}^{k+1} - 2\varphi_{Nx,0}^{k+1}}{\Delta x^2} + \frac{2\varphi_{Nx,1}^{k+1} - 2\varphi_{Nx,0}^{k+1}}{\Delta y^2} \quad (35)$$

$$\Delta\varphi^{k+1}|_{B\cap C} \approx \frac{2\varphi_{Nx-1,Ny}^{k+1} - 2\varphi_{Nx,Ny}^{k+1}}{\Delta x^2} + \frac{2\varphi_{Nx,Ny-1}^{k+1} - 2\varphi_{Nx,Ny}^{k+1}}{\Delta y^2} \quad (36)$$

$$\Delta\varphi^{k+1}|_{C\cap D} \approx \frac{2\varphi_{1,Ny}^{k+1} - 2\varphi_{0,Ny}^{k+1}}{\Delta x^2} + \frac{2\varphi_{0,Ny-1}^{k+1} - 2\varphi_{0,Ny}^{k+1}}{\Delta y^2} \quad (37)$$

$$\Delta\varphi^{k+1}|_{A\cap D} \approx \frac{2\varphi_{1,0}^{k+1} - 2\varphi_{0,0}^{k+1}}{\Delta x^2} + \frac{2\varphi_{0,1}^{k+1} - 2\varphi_{0,0}^{k+1}}{\Delta y^2} \quad (38)$$

Dla wewnętrznych węzłów domeny wartości $\varphi_{i,j}^{k+1}$ są obliczane zgodnie ze wzorem na pochodną centralną drugiego rzędu.

Dyskretyzacja członów konwekcyjnych w problemie Naviera - Stokesa

Korzystając z równania (9) członów konwekcyjne w problemie Naviera - Stokesa przekształcono do postaci opisanej poniższą formułą. Pole prędkości \mathbf{u}_\star^{k+1} to pole będące ekstrapolacją pola z przeszłości (z poprzednich kroków czasowych), przy czym rząd tej ekstrapolacji w implementowanej metodzie wynosi 1. Jest to schemat semi-niejawny i pozwala zlinearyzować członów nieliniowe, dzięki czemu rozwiązywany układ pozostaje dalej układem równań liniowych.

$$\left[(\mathbf{u} \cdot \nabla) \mathbf{u} + \frac{1}{2} (\nabla \cdot \mathbf{u}) \mathbf{u} \right]^{k+1} \cong (\mathbf{u}_\star^{k+1} \cdot \nabla) \mathbf{u}^{k+1} + \frac{1}{2} (\nabla \cdot \mathbf{u}_\star^{k+1}) \mathbf{u}^{k+1}, \quad \mathbf{u}_\star^{k+1} = \sum_{j=1}^M \beta_j \mathbf{u}^{k+1-j}$$

Pozostaje tylko przedstawić powyższe równanie w formie dyskretniej. Po wykonaniu odpowiednich operacji mnożenia otrzymamy członów, których przestrzenną dyskretyzację z użyciem różnic centralnych przedstawiono poniżej:

$$\begin{aligned} \frac{\partial}{\partial x} (u_\star)_{i,j} &\approx \frac{(u_\star)_{i+1,j} - (u_\star)_{i-1,j}}{2\Delta x} \\ \frac{\partial}{\partial y} (v_\star)_{i,j} &\approx \frac{(v_\star)_{i,j+1} - (v_\star)_{i,j-1}}{2\Delta y} \\ \left(u_\star \frac{\partial u}{\partial x} \right)_{i,j} &\approx (u_\star)_{i,j} \frac{\partial u_{i,j}}{\partial x} \approx (u_\star)_{i,j} \frac{u_{i+1,j} - u_{i-1,j}}{2\Delta x} \\ \left(v_\star \frac{\partial u}{\partial y} \right)_{i,j} &\approx (v_\star)_{i,j} \frac{\partial u_{i,j}}{\partial y} \approx (v_\star)_{i,j} \frac{u_{i,j+1} - u_{i,j-1}}{2\Delta y} \\ \left(u_\star \frac{\partial v}{\partial x} \right)_{i,j} &\approx (u_\star)_{i,j} \frac{\partial v_{i,j}}{\partial x} \approx (u_\star)_{i,j} \frac{v_{i+1,j} - v_{i-1,j}}{2\Delta x} \\ \left(v_\star \frac{\partial v}{\partial y} \right)_{i,j} &\approx (v_\star)_{i,j} \frac{\partial v_{i,j}}{\partial y} \approx (v_\star)_{i,j} \frac{v_{i,j+1} - v_{i,j-1}}{2\Delta y} \end{aligned}$$

Obsługa programu

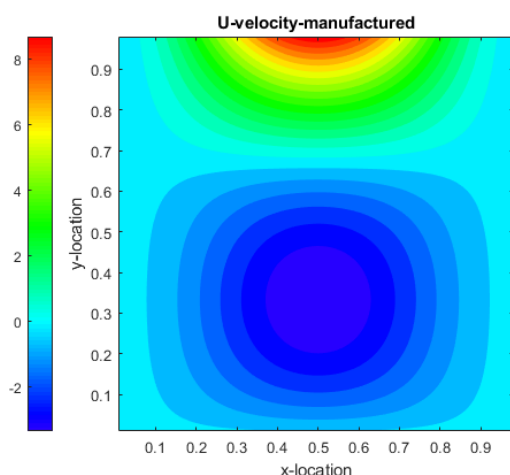
Program należy uruchomić za pomocą funkcji **main_pressure_correction.m**. W pierwszej kolejności należy zadać parametry wejściowe (według poniższego schematu). Po zakończeniu obliczeń postprocessing uruchomi się automatycznie wyświetlając: konturowy rozkład prędkości na kierunku **u** i **v**, wektory prędkości, linie prądu oraz wykres residuów w funkcji ilości iteracji. W czasie trwania obliczeń dostępny jest podgląd konturowej prędkości płynu.

```

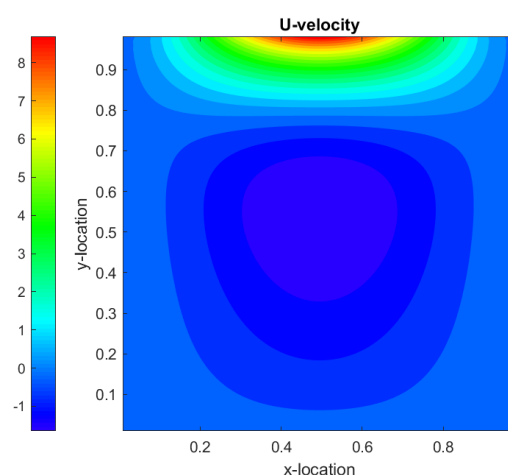
1 %===== USER INPUT DATA =====%
2 nt = 150;           % max time steps
3 Nx = 60; Ny = 60;   % Number of grids
4 dt = 1e-2;          % time step;
5 visRate = 1;        % density of velocity vectors on plot
6 N = 400;            % density of streamlines on plot
7 %=====
```

4. Prezentacja wyników

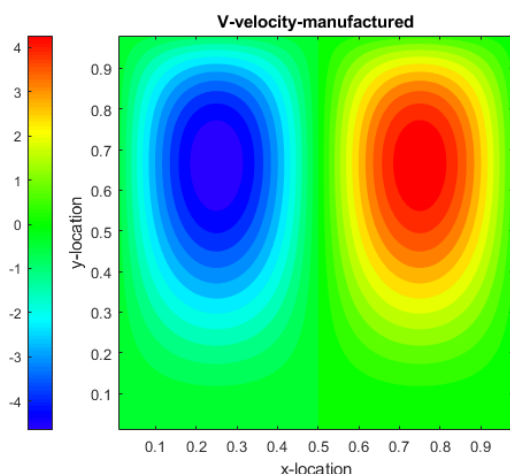
Program testowano porównując mapy konturowe prędkości z rozwiązaniem analitycznym - **manufactured solution**. Porównania dokonywano na siatce wielkości 50×50 węzłów, z krokiem czasowym równym $\Delta t = 0.1s$.



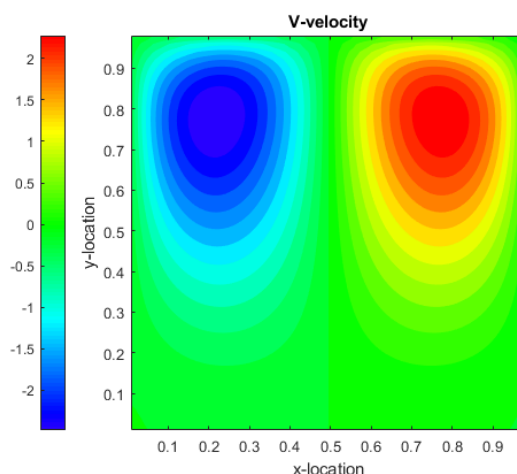
Rys. 4.1. Rozwiązanie analityczne $t = 5s$.



Rys. 4.2. Rozwiązanie pressure-correction $t = 5s$.

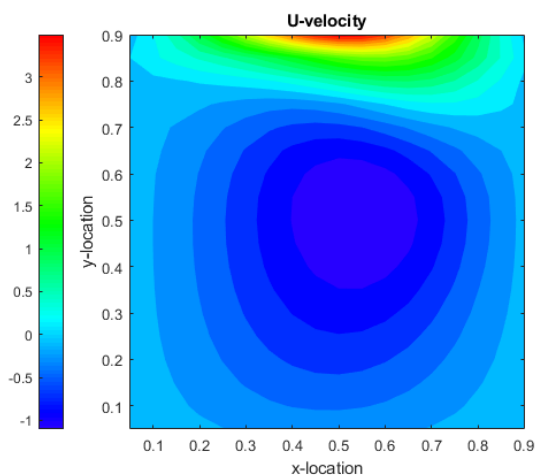


Rys. 4.3. rozwiązanie analityczne $t = 5s$.

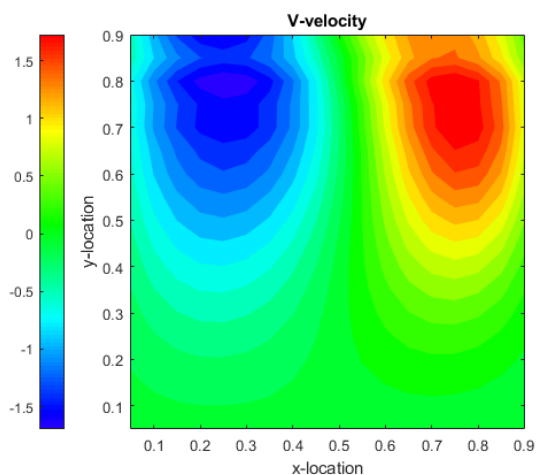


Rys. 4.4. rozwiązanie pressure-correction $t = 5s$.

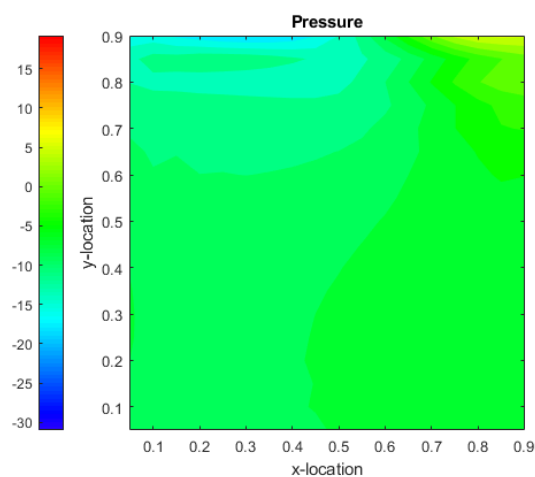
Wyniki dla siatki 20x20, $\Delta t = 0.1$, czas całkowity $t = 3s$



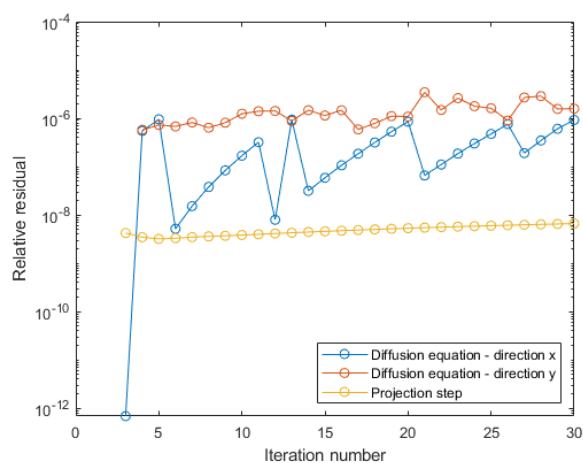
Rys. 4.5. Składowa u prędkości dla $t = 3s$, siatka 20x20.



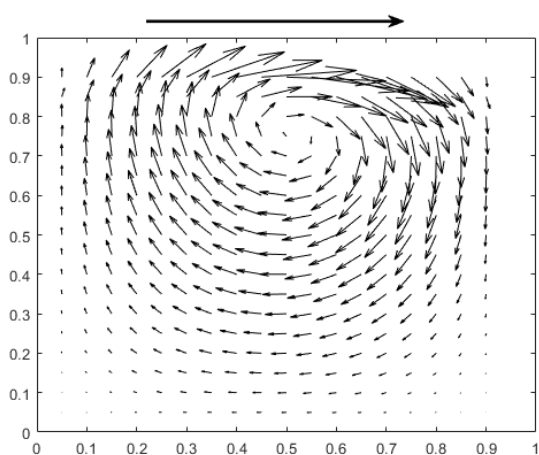
Rys. 4.6. Składowa v prędkości dla $t = 3s$, siatka 20x20.



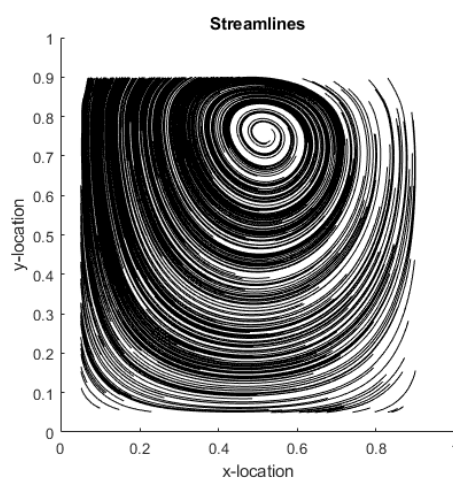
Rys. 4.7. Ciśnienie dla $t = 3s$, siatka 20x20.



Rys. 4.8. Wykres residuów w funkcji iteracji dla poszczególnych równań, siatka 20x20.

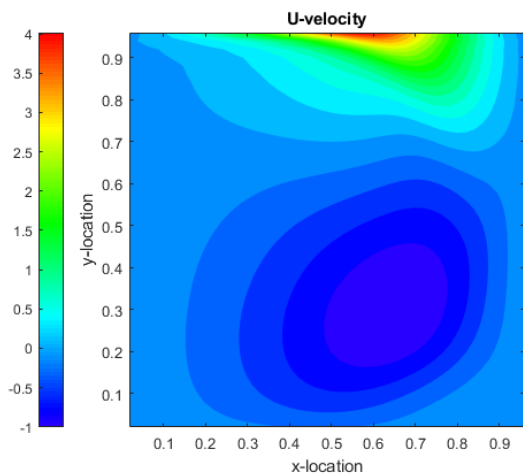


Rys. 4.9. Wektory prędkości dla $t = 3s$, siatka 20x20.

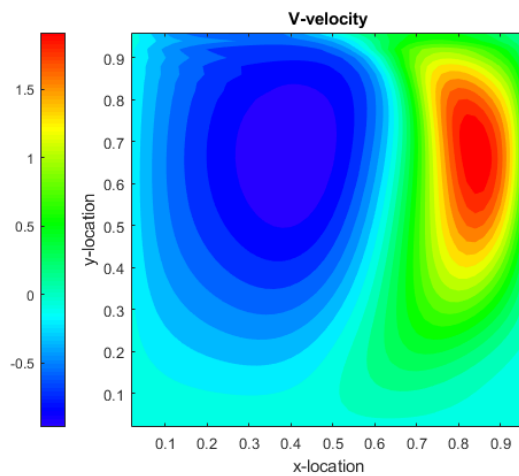


Rys. 4.10. Linie prądu dla $t = 3s$, siatka 20x20.

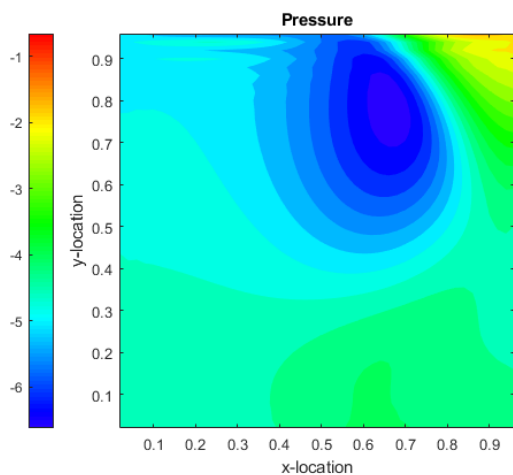
Wyniki dla siatki 50x50, $\Delta t = 0.1$, czas całkowity $t = 3s$



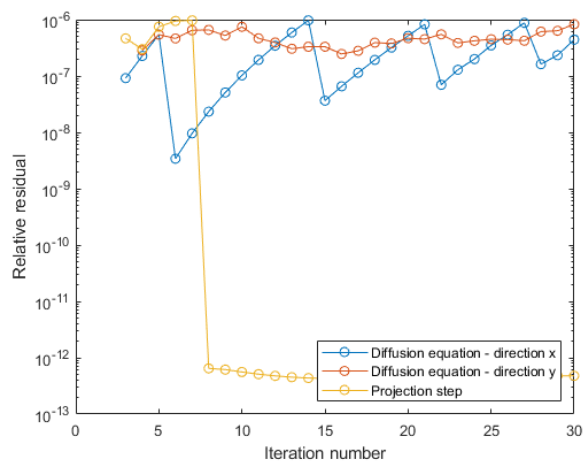
Rys. 4.11. Składowa u prędkości dla $t = 3s$, siatka 50x50.



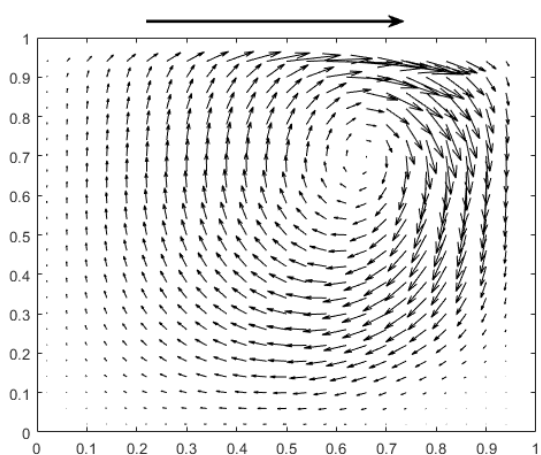
Rys. 4.12. Składowa v prędkości dla $t = 3s$, siatka 50x50.



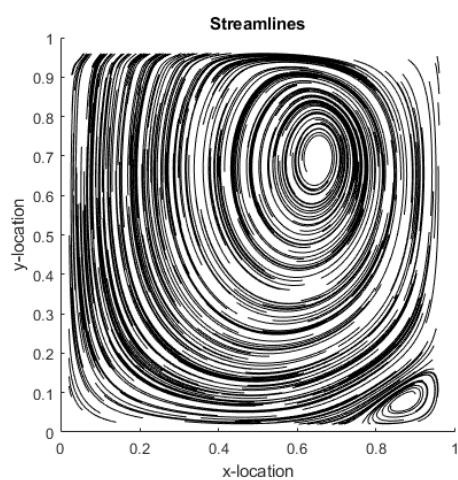
Rys. 4.13. Ciśnienie dla $t = 3s$, siatka 50x50.



Rys. 4.14. Wykres residuów w funkcji iteracji dla poszczególnych równań, siatka 50x50.

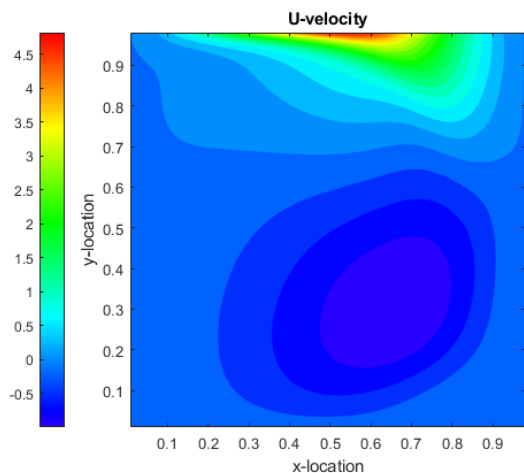


Rys. 4.15. Wektory prędkości dla $t = 3s$, siatka 50x50.

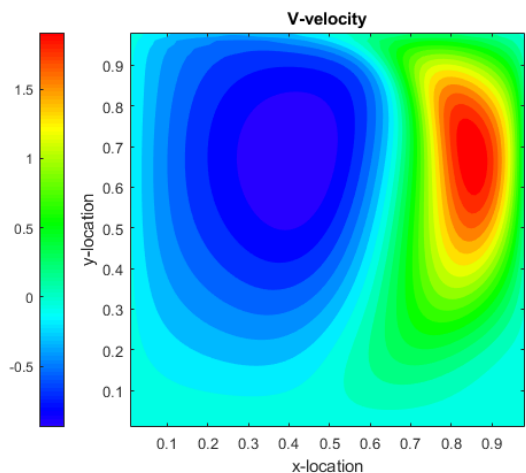


Rys. 4.16. Linie prądu dla $t = 3s$, siatka 50x50.

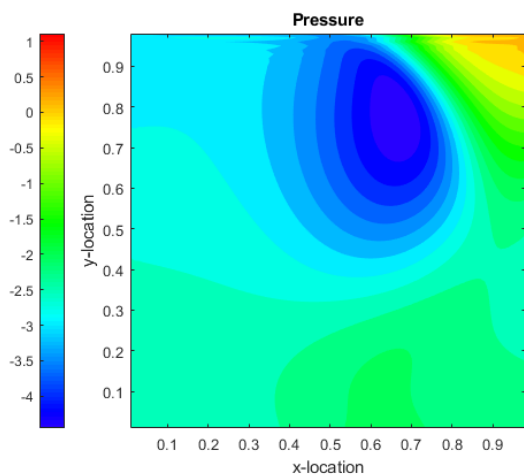
Wyniki dla siatki 100x100, $\Delta t = 0.1$, czas całkowity $t = 3s$



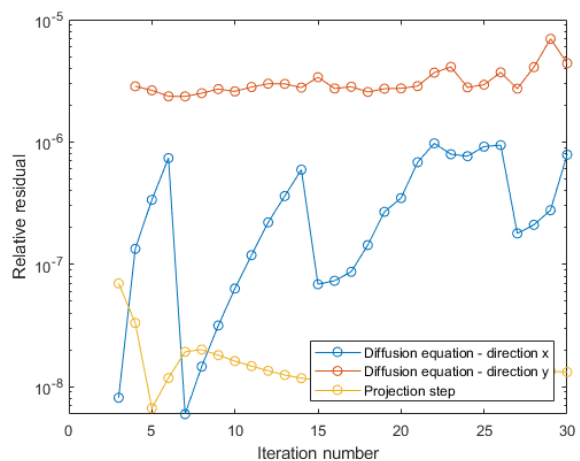
Rys. 4.17. Składowa u prędkości dla $t = 3s$, siatka 100x100.



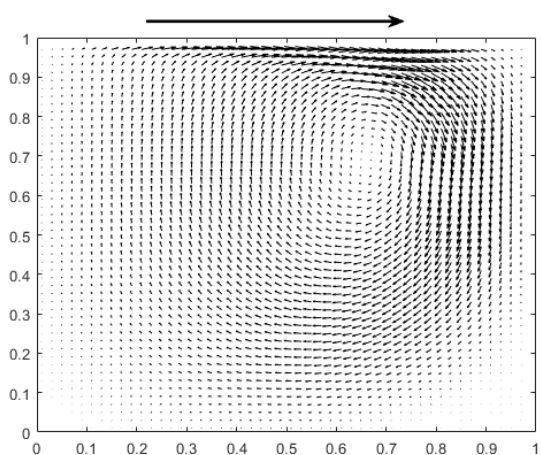
Rys. 4.18. Składowa v prędkości dla $t = 3s$, siatka 100x100.



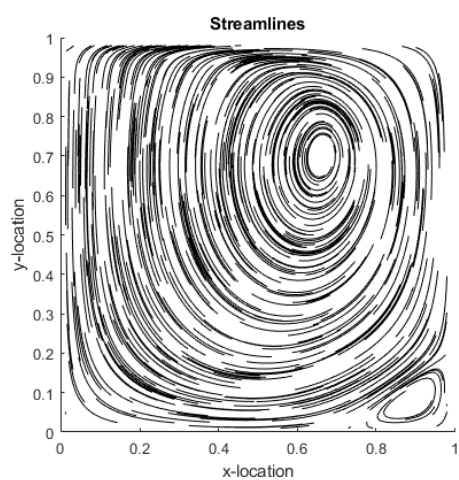
Rys. 4.19. Ciśnienie dla $t = 3s$, siatka 100x100.



Rys. 4.20. Wykres residuów w funkcji iteracji dla poszczególnych równań, siatka 100x100.

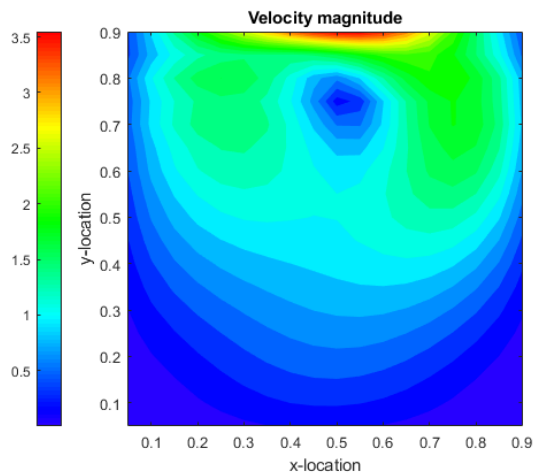


Rys. 4.21. Wektory prędkości dla $t = 3s$, siatka 100x100.

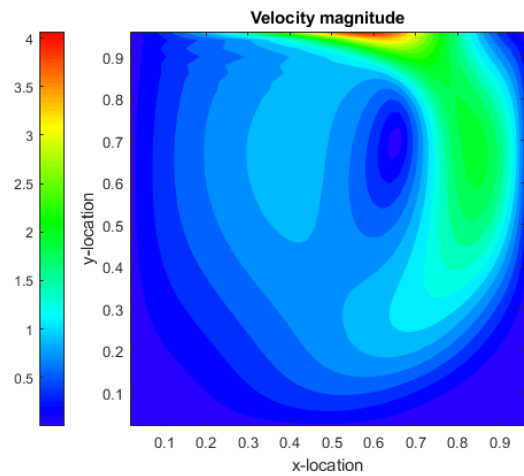


Rys. 4.22. Linie prądu dla $t = 3s$, siatka 100x100.

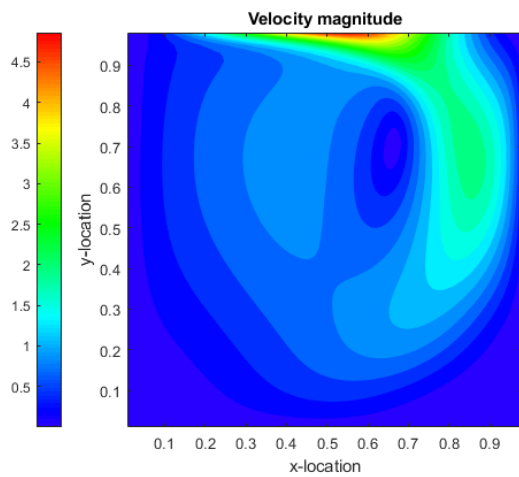
Zestawienie wyników prędkości dla zastosowanych siatek



Rys. 4.23. Rozkład prędkości dla $t = 3s$, siatka 20x20.



Rys. 4.24. Rozkład prędkości dla $t = 3s$, siatka 50x50.



Rys. 4.25. Rozkład prędkości dla $t = 3s$, siatka 100x100.